

اثر چینش باد و چینه‌بندی بر تنظیم کژفشار

علی محمدی^۱ و علیرضا محب‌الحجه^{۲*}

^۱ مریب، گروه هواشناسی دانشگاه علوم دریایی امام خمینی (ره) نوشهر، ایران
^۲ دانشیار، گروه فیزیک فضا، مؤسسه ژئوفیزیک دانشگاه تهران، ایران

(دریافت: ۹۱/۱۱/۲، پذیرش نهایی: ۹۲/۱۱/۱۵)

چکیده

بنابر تعریف، تنظیم کژفشار به برقراری حالت خنثی از نظر ناپایداری کژ فشار در اثر فعالیت پیچک‌ها گفته می‌شود و هنگامی رخ می‌دهد که شرط لازم چارنی- استرن- پدلاسکی برای پایداری برآورده شود. برای برآورده ساختن شرط‌های چارنی- استرن از روش‌هایی شامل بی‌نهایت شدن بسامد شناوری سطح زمین و یا حذف چینش باد در سطح زمین و یا ترکیبی از این دو استفاده می‌شود. در تنظیم کژفشار، با افزایش فعالیت پیچکی، شیب تاوایی پتانسیلی کاهش می‌یابد یا حذف می‌شود. با در نظر گرفتن مز زبرین (ورداشت) شرط ناپایداری چارنی- استرن تغییر می‌کند و دیگر نیازی به بی‌نهایت شدن بسامد شناوری یا صفر شدن چینش باد در سطح زمین نیست و پایداری هنگامی حاصل می‌شود که چینش باد در مزهای زبرین و زیرین علامت‌های متفاوت داشته باشد. حذف شیب تاوایی پتانسیلی پایه در فرایند تنظیم کژفشار موجب کاهش بسامد شناوری با ارتفاع می‌شود. در این مقاله تنظیم کژفشار با در نظر گرفتن مز زبرین حل و نشان داده می‌شود که در وضعیت تنظیم کژفشار، بسامد شناوری با افزایش ارتفاع، کاهش می‌یابد، چینش باد ضعیف است و شار پیچکی نیز در اثر حذف تاوایی پتانسیلی حالت پایه افزایش می‌یابد. همچنین نشان داده می‌شود که در صفحه β ، اثر کاهش تراز باد بیشینه بر رشد امواج جوی را تغییر در میزان کاهش بسامد شناوری با ارتفاع خنثی می‌کند.

واژه‌های کلیدی: تنظیم کژفشار، تاوایی پتانسیلی شبه‌زمین‌گرد، چینش باد، مدل ایدی، ورداشت

Wind shear and stratification effects on baroclinic adjustment

Mohammadi, A.¹ and Mohebalhojeh, A. R.²

¹Instructor of Meteorology, Imam-Khomeini Marine University, Noshahr, Iran

²Accosiate Professor, Institute of Geophysics, University of Tehran, Iran

(Received: 21 Jan 2013, Accepted: 04 Feb 2014)

Summary

The baroclinic adjustment is defined as the neutralization of the mean flow by eddies. With the amplitude growth of the baroclinic waves generated by an unstable mean flow, the eddy fluxes increase and act to reduce the meridional temperature gradient or vertical wind shear of the mean flow to subcritical value. This is believed to constitute the basic mechanism of baroclinic adjustment. The concomitant reduction of the potential vorticity (PV) along isentropic surfaces during the baroclinic adjustment process can be accommodated within the quasi-geostrophic theory by removing meridional gradient of quasigeostrophic PV in the interior of the domain and satisfying the requirements of the Charny-Stern-Pedlosky theorem. The result is a group of models that extend the work of Eady and thus called Eady-like models. In addition to uniform interior PV, these models share a rigid lid as the upper boundary mimicking the tropopause. In fact, the upper rigid helps to resolve a major issue regarding an unphysical aspect of the state obtained through

baroclinic adjustment. For the problem with a constant buoyancy frequency N for the mean flow, as results of previous studies suggest, the major issue is that baroclinic neutrality requires that the surface value of buoyancy frequency become infinite or exceedingly large, even if frictional damping is taking into account.

The mathematical tractability, physical simplicity, and yet the ability to explain some of the important features of baroclinic eddies in the real atmosphere and oceans, have made the Eady-like models of baroclinic instability the ideal setting to study baroclinic adjustment. In particular, the presence of a short-wave cut-off for instability, an immediate effect of using uniform interior PV, can provide a route to reach baroclinic neutrality. This can be achieved through limiting the interaction between the lower and upper edge waves by, for example, moving the lid to upper levels and thus displacing the short-wave cut-off to longer wavelengths. Further, confining the baroclinic eddies in meridional direction leads to a lower limit for the horizontal wavenumber. Making the latter lower limit equal to the short-wave cut-off leads to a state of neutrality for all of the zonal modes.

Within the extent of Eady-like models, this paper is devoted to study the effect of vertical wind shear and stratification on the baroclinic adjustment. Disregarding the density variation with height, analytical solutions are obtained in the form of the Bessel and Neumann functions for the instability problem with a quadratic profile for the zonal mean flow and a general $N^2(z) = N^2(0)e^{bz}$ form for the height variation of the squared buoyancy frequency. The instability problem is investigated by varying $N^2(0)$, b , and the level of maximum zonal mean flow, that is, the location of the jet. Varying the latter parameter help us determine the sensitivity to the changes of vertical shear in the upper boundary relative to that in the lower boundary. The relation between the eddy flux of PV and the stratification parameters including b is also explored at a representative mid-tropospheric level (600 hPa). It is shown that the eddy flux of PV is minimum (maximum) for positive (negative) values of b , which correspond to decreasing (increasing) values of N^2 with height. Therefore, it can be concluded that the process of baroclinic adjustment is associated with negative values of b .

Using a properly determined vertical profile for N^2 , the meridional gradient of PV is removed in the interior of the domain. It is shown that the adjusted buoyancy frequency decreases with increasing altitude. With stronger winds, the reduction with height in buoyancy frequency becomes more significant.

With the meridional gradient of PV eliminated, the necessary condition for instability based on the Charny–Stern–Pedlosky criterion requires that the wind shear on the lower and upper boundaries be of the same sign. However, even in the case of equal-sign wind shear on the two boundaries, neutrality may be achieved depending on the structure of the wind shear throughout the domain and not just on the boundaries. In the Eady problem, wind shear has no effect in the condition for instability. Considering the effects of wind shear on the adjusted buoyancy frequency, it is shown that instability can occur if wind shear increases even when the surface value of N^2 is $20 \times 10^{-4} \text{ s}^{-1}$. Without considering the variation with height of N^2 , as the case with no rigid lid, neutrality can only happen for exceedingly large values of surface buoyancy frequency. It is shown that for baroclinic adjustment to occur, the two following conditions are necessary:

- 1- a decreasing with height of the buoyancy frequency;
- 2- a weak wind shear.

Nevertheless, baroclinic adjustment can also occur in the presence of strong wind shear, if

there is sufficiently large surface value of N^2 . Further, it is shown that the effect of changing the wind shear difference between the lower and upper boundaries is compensated by a corresponding change in the reduction of buoyancy frequency with height.

Keywords: Baroclinic adjustment, Potential vorticity, Wind shear, Eady model, Tropopause

۱ مقدمه

پیچک‌های ناپایدار سعی می‌کنند شیو تاوایی پتانسیلی پایه را از بین ببرند و جوّ را به حالت مسئله ایدی برسانند. مشاهداتی نیز در تایید این فرض مبنی بر حذف شیو تاوایی پتانسیلی به واسطه پیچک‌ها وجود دارد (مورگان، ۱۹۹۵؛ سان و لیندزن، ۱۹۹۴؛ استون و نمت، ۱۹۹۶).

نقشه آغازین در بررسی مسئله ناپایداری، معیار چارنی و استرن (۱۹۶۲) و پدلاسکی (۱۹۶۴) است که شرایط لازم ولی ناکافی را برای رشد امواج در شارش‌های شبه‌زمین گردی بیان می‌کند. لازم به ذکر است که ممکن است شرایط لازم برای رخداد ناپایداری بر طبق معیار فوق برآورده شود ولی شارش همچنان پایدار باشد و بر عکس (محمدی و محب‌الحججه، ۱۳۹۱).

تنظیم کژفشار را می‌توان با تغییر شیو نصف‌النهاری دما (لیندزن و فارل، ۱۹۸۰) و یا با تغییر در پایداری ایستایی (گوتاؤسکی، ۱۹۸۵) و یا تلفیقی از این دو (گوتاؤسکی و همکاران، ۱۹۸۹) ایجاد کرد.

لیندزن (۱۹۹۳) عامل دیگری را برای تنظیم کژفشار معرفی کرد. در فرضیه لیندزن، حالت خنثی در جوّ را طول موج آستانه رخداد ناپایداری در مدل ایدی تعیین می‌کند. وجود این طول موج آستانه رشد امواج، نتیجه مستقیم صفر بودن شیو تاوایی پتانسیلی پایه در نواحی داخلی جوّ است. با صفر بودن شیو تاوایی پتانسیلی پایه، امواج راسی در نواحی داخلی جوّ منتشر نمی‌شوند، بنابراین ناپایداری فقط با برهم‌کنش دو مرز زیرین (ورداست) و زیرین (سطح زمین) ممکن است. هنگامی که طول موج به مقدار

در جوّ دارای ناپایداری کژفشار، امواج در چرخه‌ای از رشد، اشباع و میرایی که در بردارنده برهم کش با شارش میانگین است، وارد می‌شوند. استون (۱۹۷۸) با استفاده از مدل کژفشار دولایه‌ای (فیلیپس، ۱۹۵۴)، مقدار آستانه شیو نصف‌النهاری دما (چینش باد با ارتفاع در مدل دولایه‌ای) برای رشد امواج جوّ را محاسبه کرد و نشان داد که شیو نصف‌النهاری دمای مشاهده شده در وردسپهر میانی (در تراز ۶۰۰ هکتوپاسکال) نزدیک به مقادیر آستانه محاسبه شده است. ضمناً او با محاسبه شار پیچکی نصف‌النهاری تاوایی پتانسیلی نتیجه گرفت وقتی شیو نصف‌النهاری دما بیشتر از مقدار آستانه رشد امواج جوّ می‌شود، شار پیچکی ضعیف است. با رشد دامنه و عمیق‌تر شدن امواج پس از گذشت چند روز، شار پیچکی قوی می‌شود و کاهش مجدد شیو نصف‌النهاری دما به مقادیری نزدیک آستانه را به دنبال دارد. بدین ترتیب جریان میانگین پایدار می‌شود. تصور می‌رود که این سازوکار به طور دائم در جوّ در حال تکرار باشد. افزایش میزان فعالیت پیچکی، شیو تاوایی پتانسیلی پایه را کاهش می‌دهد یا آن را حذف می‌کند (راینز و یانگ، ۱۹۸۲).

رسیدن جوّ به حالت خنثی و سازوکار پایداری ناشی از اثر شار پیچکی به تنظیم کژفشار معروف است. در مسئله ایدی (۱۹۴۹) با در نظر گرفتن فرض‌هایی برای ساده‌سازی مسئله، شیو تاوایی پتانسیلی برابر صفر قرار داده می‌شود و با حل این مسئله طول امواج ناپایدار بزرگ‌تر از مقدار آستانه به دست می‌آید. بدین ترتیب می‌توان گفت

۴۵ تا ۶۵ درجه کمتر از ارتفاع وردایست بعد از رخداد ناپایداری است و ارتفاع وردایست در مرحله میرایی امواج و شروع تنظیم کثافشار افزایش می‌یابد. بنابراین فعالیت پیچک‌ها موجب افزایش ارتفاع وردایست می‌شود. در این مقاله در ابتدا تنظیم کثافشار بحث و مقاطع بسامد شناوری لازم برای حذف شیو تاوایی پتانسیلی حالت پایه محاسبه می‌شود. در ادامه رشد امواج با فرض رخداد فرایند تنظیم کثافشار بررسی می‌شود. در قسمت ۳ تاثیر بسامد شناوری بر شار پیچکی مورد تحلیل قرار می‌گیرد.

۲ تنظیم کثافشار

بررسی معادلات حاکم بر تنظیم کثافشار در این پژوهش با تقریب شبزمین‌گرد، بوسینسک و شارش در صفحه β صورت می‌گیرد. نظریه چارنی و استرن (۱۹۶۲) و پدلاسکی (۱۹۶۴) عبارت نسبتاً ساده‌ای از شرایط لازم برای رخداد ناپایداری را بیان می‌کند که با استفاده از آن می‌توان چگونگی رخداد تنظیم کثافشار را با در نظر گرفتن مربع بسامد شناوری $N^2 = \left(\frac{g}{\theta}\right)^2 \left(\frac{d\theta}{dz}\right)$ به ازای g شتاب گرانی و θ دمای پتانسیلی حالت پایه بررسی کرد. چنانچه در نظریه چارنی-استرن-پدلاسکی فقط مرز پایین (سطح زمین) در نظر گرفته شود، شرط لازم برای رخداد ناپایداری در یک کanal زناری به پهنه‌ای L به صورت زیر به دست می‌آید (هولتن، ۲۰۰۴):

$$c_i \left[\int_{-L}^{+L} \int_0^{\infty} \rho_0 e^{-\frac{y}{H}} \frac{\partial Q}{\partial y} \frac{|\Psi|^2}{|U - c|^2} dy dz - \int_{-L}^{+L} \frac{f_0^2}{N^2} \frac{\partial U}{\partial z} \frac{|\Psi|^2}{|U - c|^2} \Big|_{z=0} dy \right] = 0 \quad (1)$$

که در آن، γ مختصه قائم لگاریتم فشار، Ψ و Q به ترتیب تابع جريان، سرعت مداری و تاوایی پتانسیلی حالت پایه، f_0 چگالی در سطح زمین، f پارامتر کورiolis در عرض جغرافیایی مرکز کanal، H ارتفاع تراز وردایست، C تندی فاز موج و c_i قسمت موهومی

آستانه در مدل ایدی برسد، امواج مرزی (امواج تولیدی در اثر شرایط مرزی) در ارتفاع معینی با یکدیگر تداخل می‌کنند و ناپایداری در اثر ترکیب امواج مرزی رخ می‌دهد. لذا طول موج آستانه رشد امواج به ارتفاع مرز زبرین بستگی دارد و با افزایش ارتفاع مرز بالا طول موج آستانه نیز افزایش می‌یابد. نظریه لیندنزن (۱۹۹۳) را بوردي و همکاران (۲۰۰۲ و ۲۰۰۴) با در نظر گرفتن اثرات پوشن سپهر و ناهمواريها توسعه داده است.

استون و نمت (۱۹۹۶) شب سطوح هم‌آنتروپي را با استفاده از مقادير مشاهده شده پایه دما و تندی باد برآورد کردنده و به اين نتيجه رسيدند که تنظیم کثافشار در نيمکره شمالی در عرض‌های ميانی اتفاق می‌افتد ولي محدود به سطوح ۶۰۰ تا ۴۰۰ هكتوپاسکال است. هارنيك و ليندنزن (۱۹۹۸) براساس نظریه لیندنزن (۱۹۹۳) نشان دادند که ميزان تداخل امواج مرزهای زبرین و زيرين به انتگرال قائم بسامد شناوری N وابسته است و با افزایش $\int N dz$ طول موج آستانه رخداد ناپایداری بيشتر می‌شود و برای بسامدهای شناوری مطابق با جو واقعی، کاهش ارتفاع وردایست طول موج آستانه رشد امواج را افزایش می‌دهد. بري و همکاران (۲۰۰۰) با اجرای يك مدل گرددش کلي جو، حالت ختني را با افزایش بسامد شناوری و كمي کاهش در شيو نصف النهاري دما ايجاد کردنده، مدت زمان فرایند تنظیم کثافشار را بدون وجود فعالیت پیچکی و شار تابشي ۱۵ تا ۲۰ روز و با وجود فعالیت پیچکی و شار تابشي ۱۰-۵ روز به دست آورده و نتيجه گرفته که با توجه به آهستگي اين فرایند نباید انتظار داشت که تنظیم کثافشار در همه لایه‌ها از سطح زمین تا بام جو دیده شود. دل‌آکويلا (۲۰۰۴) و دل‌آکويلا و همکاران (۲۰۰۷) با استفاده از داده‌های بازتحليل NCEP-NCAR تنظیم کثافشار را با تمرکز بر تاثير پیچک‌ها بر ارتفاع وردایست بررسی کردنده و روشن ساختند که ارتفاع وردایست قبل از رخداد ناپایداری به خصوص در عرض‌های جغرافیایی

N^2 و کاستن از $\partial U / \partial z$ در سطح زمین حذف کردند. آنها مقاطع باد مداری و N^2 را مطابق شکل ۱ در نظر گرفتند. نمایه باد مداری و N^2 تنظیم یافته در ارتفاع z_A با مقدار اولیه برابر می‌شوند (هدف به دست آوردن نمایه‌هایی است که جمله مرزی را حذف کند).

در مقاله حاضر دو مرز زبرین و زیرین در نظر گرفته می‌شود. شرط ناپایداری چارنی- استرن- پدلاسکی به صورت زیر به دست می‌آید (وکیس، ۲۰۰۶):

$$c_i \left[\int_{-L}^{+L} \int_0^{\infty} \rho_b e^{-\beta H} \frac{\partial Q}{\partial y} \frac{|\Psi|^2}{|U - c|^2} dy dz + \int_{-L}^{+L} \frac{f_0^2}{N^2} \frac{\partial U}{\partial z} \frac{|\Psi|^2}{|U - c|^2} \Big|_{z=h} \right] = 0 \quad (3)$$

$$\left. \left[dy - \int_{-L}^{+L} \frac{f_0^2}{N^2} \frac{\partial U}{\partial z} \frac{|\Psi|^2}{|U - c|^2} \Big|_{z=0} \right] dy \right]$$

برطبق معادله (۳) در تنظیم کژفشار نیازی به حذف U_z و بینهایت شدن N^2 نیست و چنانچه با تغییر نمایه N^2 شیو تاوایی پتانسیلی حذف شود، شرط لازم برای رخداد ناپایداری هم علامت بودن U_z (مشتق U نسبت به z) در مرزهای زبرین و زیرین بدست می‌آید. توجه شود که چنانچه علامت U_z در دو مرز بالا (ورداشت) و پایین (سطح زمین) مخالف باشد، باید C_i صفر شود که به معنای پایداری است. معادله (۲) برحسب شیب سطوح هم آنتروپی $S = U_z / N^2$ به صورت زیر درمی‌آید:

$$\frac{\partial Q}{\partial y} = \beta - f_0^2 e^{-\beta H} \frac{\partial}{\partial z} (e^{-\beta H} S) \quad (4)$$

با صفر قرار دادن شیو نصف‌النهاری تاوایی پتانسیلی در معادله (۴)، نمایه N^2 تنظیم یافته برابر با رابطه (۵) به دست می‌آید:

$$S_A(z) = \frac{U_{zA}(z)}{N_A^2(z)} = S_A(0) e^{-\beta H} + \frac{\beta H}{f_0^2} (e^{-\beta H} - 1) \quad (5)$$

که در آن، $S_A(0)$ شیب سطوح هم آنتروپی تنظیم یافته در سطح زمین است که با استفاده از نمایه‌های تنظیم یافته $N_A^2(0)$ و $U_{zA}(0)$ محاسبه می‌شود. در پژوهش حاضر، نمایه باد به صورت اختیاری فرض و سپس نمایه $(z) N_A^2(z)$ با استفاده از رابطه (۵) محاسبه می‌شود. یکی از موارد

تندی فاز است. شیو نصف‌النهاری تاوایی پتانسیلی حالت پایه به صورت زیر است:

$$\frac{\partial Q}{\partial y} = \beta - \frac{\partial^2 U}{\partial y^2} - e^{zH} \frac{\partial}{\partial z} \left(\frac{f^*}{N} e^{-zH} \frac{\partial U}{\partial z} \right) \quad (2)$$

در عرض‌های میانی، $\frac{\partial^2 U}{\partial y^2}$ سهم چندانی در شیو نصف‌النهاری تاوایی پتانسیلی حالت پایه ندارد (فومنر، ۱۹۸۲) و اندازه این جمله در عرض میانی در ماه ژانویه ۰.۰۳۷ β است (استون و نمت، ۱۹۹۶). به این علت و نیز برای تمرکز بر اثر ناپایداری کژفشار، در ادامه از این عبارت صرف نظر می‌شود. شرط رخداد ناپایداری $C_i \neq 0$ است و هنگامی اتفاق می‌افتد که جمله داخل کروشه در معادله (۱) تغییر علامت دهد. با عملی شدن فرایند تنظیم کژفشار، قسمت موهومنی تندی فاز صفر می‌شود (گوتاؤسکی، ۱۹۸۵؛ گوتاؤسکی و همکاران، ۱۹۸۹). بنابراین در معادله (۱) ضربی C_i باید مخالف صفر باشد. با توجه به غیر صفر بودن Q (شیو تاوایی پتانسیلی به طور معمول مثبت است)، در حالتی که جمله مرزی در معادله (۱) حذف و تاوایی پتانسیلی حالت پایه نیز تا ارتفاع تنظیم یافته بزرگ‌تر از صفر شود، تنظیم کژفشار برقرار می‌شود. با این شرایط، جمله داخل برآکت در معادله (۱) دیگر تغییر علامت نمی‌دهد و قسمت موهومنی تندی فاز، صفر می‌شود. جمله مرزی در سطح زمین را می‌توان با صفر قرار دادن $\frac{\partial U}{\partial z}$ ، به بینهایت میل دادن بسامد شناوری و یا ترکیبی از این دو حذف کرد.

بینهایت شدن بسامد شناوری در سطح زمین سبب می‌شود که حالت پایه با میانگین مداری و زمانی مشاهده شده جو واقعی تفاوت زیادی داشته باشد. برای رسیدن به ساختاری واقعی تر برای حالت پایه، گوتاؤسکی (۱۹۸۵) مقادیر بزرگ N^2 را در سطح زمین در نظر گرفت و فرض کرد که ناپایداری ایجاد شده با اصطکاک و فعالیت پیچکی در سطح زمین حذف می‌شود. گوتاؤسکی و همکاران (۱۹۸۹) جمله مرزی در معادله (۱) را با افزودن

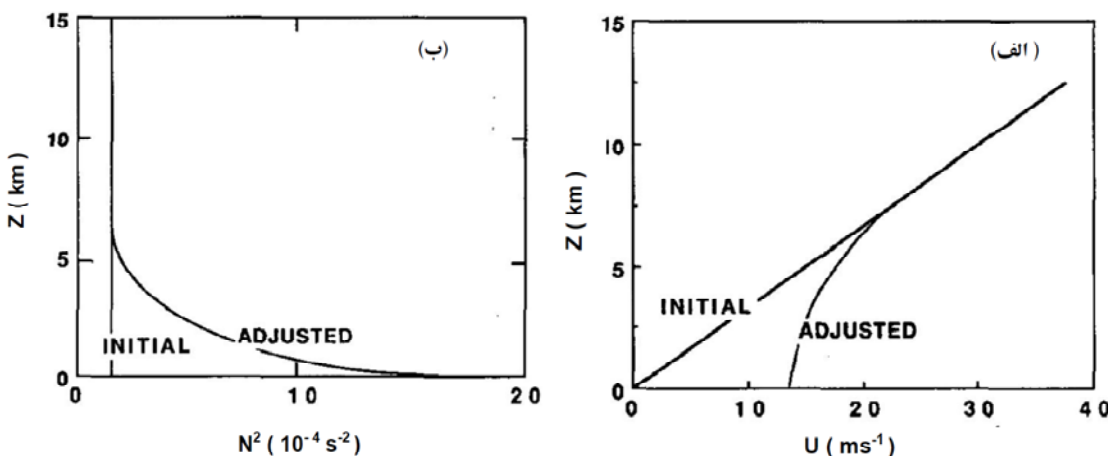
دارد.

در رابطه (۵)، بسامد شناوری تنظیم یافته به $N^2(0)$ بستگی دارد و با افزایش مقدار بسامد شناوری در سطح زمین ثابت b کاهش می‌یابد. در شکل ۳ کاهش ضریب b با افزایش $N^2(0)$ نشان داده شده است. با فرض نمایه مربعی سرعت باد مداری به صورت زیر رابطه (۶) نوشتند:

$$U(z) = a \left(-\frac{z^2}{2h} + z \right) \quad , \quad \frac{\partial U}{\partial z} = a \left(-\frac{z}{h} + 1 \right) \quad (6)$$

که در آن، h ارتفاع تراز باد بیشینه است. با تغییر مقدار (چینش باد)، مقدار b نیز تغییر می‌کند. با افزایش a ، مقدار b نیز افزایش می‌یابد. برای مثال در شکل ۵، تغییرات عدد b در نمایه‌های مربعی سرعت باد مداری نسبت به ارتفاع که در آنها تراز باد بیشینه در دو تراز km ۳۰۰ و ۱۵ km قرار گرفته، برای دو مقدار a برابر $0/008$ و $0/002$ نشان داده شده است. بنابراین می‌توان اثر بسامد شناوری تنظیم یافته را با تابع نمایی، تقریب زد و اثر آن را در رشد امواج یا رخداد حالت خنثی بررسی کرد.

غیرواقعی در مدل‌های تنظیم گرفشار، مقادیر بزرگ $N_A^2(0)$ و به موجب آن، صفر شدن $S_A(0)$ است. با در نظر گرفتن مرز زیرین، دیگر الزامی به صفر شدن $S_A(0)$ نیست و می‌توان آن را با $S(0)$ (مقادیر واقعی شب سطوح هم آنتروپی در سطح زمین) جایگزین کرد. نمایه (z) در حکم تقریبی از نمایه قائم مربعی دما رسم شده شکل ۲-ب با استفاده از نمایه قائم مربعی دما رسم شده است (خط چین مشکی در شکل ۲). علت انتخاب نمایه قائم مربعی دما (الف) کاهش دما با ارتفاع در وردسپهر، (ب) کمینه دما در وردایست و (ج) افزایش دما با ارتفاع در پوشن‌سپهر است. براساس رابطه (۵)، مربع بسامد شناوری تابعی نمایی از ارتفاع است. پس می‌توان آن را با تابع $N_e^2(z) = N^2(0) e^{bz}$ نمایه‌های گوناگون بسامد شناوری را ایجاد کرد. در شکل ۲، نمایه‌های $N_e^2(z)$ به ازای $b = -2 \times 10^{-4} m^{-1}$ و $N^2(0) = 2.3 \times 10^{-4} s^{-2}$ رسم شده است. مطابق شکل، تطابق خوبی بین نمایه تنظیم یافته بسامد شناوری (خط مشکی) و تابع نمایی $N_e^2(z) = 2.3 \times 10^{-4} e^{-2 \times 10^{-4} z} s^{-2}$ (خط سرخ) وجود



شکل ۱. (الف) نمایه تنظیم یافته چینش باد و (ب) نمایه تنظیم یافته بسامد شناوری بنابر گوتاؤسکی و همکاران (۱۹۸۹).

$$\left(\frac{\partial}{\partial t} + U \frac{\partial}{\partial x} \right) \left(\nabla^2 \psi + e^{z/H} \frac{\partial}{\partial z} \left(\frac{f_0^2}{N^2} e^{-z/H} \frac{\partial \psi}{\partial z} \right) \right) = 0 \quad (10)$$

برای حل معادله فوق، تابع زیر را به منزله جواب، جایگزین می‌کنیم:

$$\psi(x, y, z, t) = \phi(z) \exp[i(kx + ly - kct)] \quad (11)$$

که در آن، $\phi(z)$ تابع ساختار قائم، k عدد موج در راستای مداری، l عدد موج در راستای نصف‌النهاری و c تندی فاز است. با قرار دادن جواب (11) در معادله (10) رابطه زیر به دست می‌آید:

$$\begin{aligned} & \left(\frac{\partial}{\partial t} + U \frac{\partial}{\partial x} \right) \\ & \left(-K^2 \phi + e^{z/H} \frac{d}{dz} \left(\frac{f_0^2}{N^2} e^{-z/H} \frac{d\phi}{dz} \right) \right) = 0 \end{aligned} \quad (12)$$

که در آن، $K^2 = (k^2 + l^2)$ و با در نظر گرفتن تغییرات N^2 با ارتفاع معادله نهایی زیر حاصل می‌شود:

$$\frac{1}{N^2} \frac{d^2 \phi}{dz^2} + \frac{d}{dz} \left(\frac{1}{N^2} \right) \frac{d\phi}{dz} - \frac{1}{H} \frac{1}{N^2} \frac{d\phi}{dz} - \frac{K^2}{f_0^2} \phi = 0 \quad (13)$$

عبارت $\frac{1}{H}$ ناشی از اثر چگالی است و اگر از تغییرات چگالی با ارتفاع صرف نظر کنیم ($H \rightarrow \infty$)، جمله $\frac{1}{H}$ از معادله (13) حذف می‌شود. با جایگزین کردن بسامد شناوری با تابع $N_e^2(z) = N^2(0) e^{bz}$ رابطه (14) به دست می‌آید.

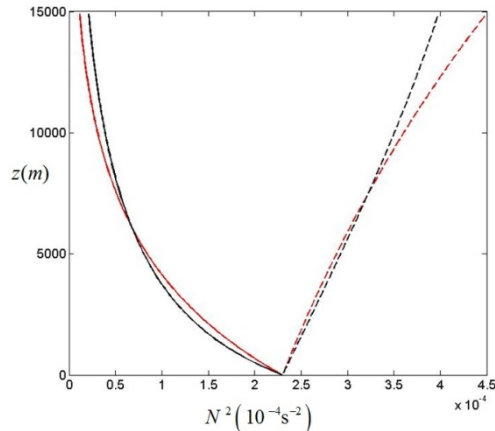
$$\frac{d^2 \phi}{dz^2} - b \frac{d\phi}{dz} - \frac{K^2 N^2(0)}{f_0^2} e^{bz} \phi = 0 \quad (14)$$

با تغییر متغیر مستقل به صورت $\chi = \ln \frac{z}{b}$ ، معادله (14) به دست می‌شود:

$$\chi^2 b^2 \frac{\partial^2 \phi}{\partial \chi^2} - n^2 \chi \phi = 0 \quad (15)$$

که در آن، $n^2 = (K^2 N^2(0)) / f_0^2$ است. حال می‌توان متغیرهای وابسته و مستقل در معادله بالا را به صورت $\xi = (2i n/b) \chi^{1/2}$ و $\omega = \phi \chi^{-1/2}$ تغییر داد. معادله حاصل:

$$\xi^2 \frac{d^2 \omega}{d\xi^2} + \xi \frac{d\omega}{d\xi} + (\xi^2 - 1) \omega = 0 \quad (16)$$



شکل ۲. تابع نمایی بسامد شناوری برای $N^2(0) = 2.3 \times 10^{-4} \text{ s}^{-2}$ و $b = -2$ (خط سرخ)، نمایه تنظیم‌یافته بسامد شناوری برای $N^2(0) = 2.3 \times 10^{-4} \text{ s}^{-2}$ (خط مشکی)، تابع نمایی بسامد شناوری برای $N^2(0) = 2.3 \times 10^{-4} \text{ s}^{-2}$ و $b = 0.45$ (خط چین سرخ) و نمایه تنظیم‌یافته بسامد شناوری برای نمایه مربعی دما (خط چین مشکی).

۳ رشد امواج

معادله خطی شده تاوایی پتانسیلی زمین گردوار در دستگاه لگاریتم فشار به صورت زیر است:

$$\left(\frac{\partial}{\partial t} + U \frac{\partial}{\partial x} \right) q + \frac{\partial Q}{\partial y} \frac{\partial \psi}{\partial x} = 0 \quad (7)$$

در اینجا $\frac{\partial Q}{\partial y}$ مطابق رابطه (2) و تاوایی پتانسیلی پریشیدگی q به صورت زیر تعریف می‌شود:

$$q = \nabla^2 \psi + e^{z/H} \frac{\partial}{\partial z} \left(\frac{f_0^2}{N^2} e^{-z/H} \frac{\partial \psi}{\partial z} \right) \quad (8)$$

در روابط (7) و (8)، ψ بخش پریشیده تابع جریان است. معادله انرژی ترمودینامیکی در نبود گرمایش در روی سطوح مرزی زیرین و زیرین که در آنها سرعت عمود بر مرز صفر است، به شکل زیر درمی‌آید:

$$\left(\frac{\partial}{\partial t} + U \frac{\partial}{\partial x} \right) \frac{\partial \psi}{\partial z} - \frac{\partial U}{\partial z} \frac{\partial \psi}{\partial x} = 0 \quad z = 0, z_{top} \quad (9)$$

در تنظیم کثربشار با تغییر N^2 جمله $\frac{\partial Q}{\partial y}$ از معادله (7) حذف و حاصل به صورت زیر درمی‌آید:

در می آید:

$$\frac{d^2\phi}{dz^2} + b \frac{d\phi}{dz} - n^2 e^{bz} \phi = 0 \quad (21)$$

از حل معادله (۲۱) با رویه حل رابطه (۱۴)، معادله (۲۲)

به دست می آید:

$$\phi = e^{-bz/2} \left(AJ_{-1} \left(\frac{-2i n}{b} e^{-bz/2} \right) + BY_{-1} \left(\frac{-2i n}{b} e^{-bz/2} \right) \right) \quad (22)$$

با مقایسه رابطه های (۱۷) و (۲۲)، می توان جواب کلی زیر

را برای معادله (۱۳) به ازای مقادیر مثبت و منفی b نوشت:

$$\phi(z) = e^{bz/2} \left(AJ_p \left(\frac{2i n}{b} e^{bz/2} \right) + BY_p \left(\frac{2i n}{b} e^{bz/2} \right) \right) \quad (23)$$

در اولین مرحله، مسئله تنظیم کرفسشار با شرایط ساده سازی مدل ایدی حل می شود تا مقایسه نتایج به دست آمده با دیگر نظریه ها ممکن باشد. در ادامه، با برداشتن شرط ثابت بودن تغییر سرعت باد مداری با ارتفاع، به مقایسه نتایج پرداخته می شود.

مهم ترین ساده سازی به کار رفته در مدل ایدی در نظر گرفتن مرز زبرین است. نتیجه این ساده سازی بی نهایت شدن بسامد شناوری در پوشن سپهر است. در صورتی که در واقعیت، در پوشن سپهر بسامد شناوری فقط چندین برابر ورد سپهر است. این تفاوت وجه تمایز اصلی بین نظریه چارنی (۱۹۴۷) و مدل ایدی (۱۹۴۹) است. این موضوع مورد توجه محققان زیادی قرار گرفته است که از جمله مهم ترین آنها می توان به ریوست و همکاران (۱۹۹۲) و بورדי و همکاران (۲۰۰۲) و (۲۰۰۴) اشاره کرد. ساده سازی های به کار رفته در مقاله حاضر عبارت انداز (الف) ثابت بودن چگالی با ارتفاع ($H \rightarrow \infty$ ، ب) ثابت بودن تغییر سرعت باد مداری با ارتفاع، (ج) وجود مرز در ورد آیست. در اینجا، با تنظیم بسامد شناوری شیو تاوایی پتانسیلی پایه حذف و برای این کار مسئله در صفحه β حل می شود.

جواب های (۱۷) و (۲۲) بر حسب تابع های بسل و

معادله بسل مرتبه اول است. جواب معادله های (۱۶)، (۱۵)

و (۱۴) به ترتیب مطابق زیر به دست می آید:

$$\omega = AJ_1(\xi) + BY_1(\xi) \quad (17)$$

$$\omega = \sqrt{\chi} \left(AJ_1 \left(\frac{2i n}{b} \chi^{1/2} \right) + BY_1 \left(\frac{2i n}{b} \chi^{1/2} \right) \right)$$

$$\phi = e^{bz/2} \left(AJ_1 \left(\frac{2i n}{b} e^{bz/2} \right) + BY_1 \left(\frac{2i n}{b} e^{bz/2} \right) \right)$$

در معادله (۱۷) J_1 و Y_1 تابع های بسل و نویمان مرتبه اول

(آبرامویتز و استگان، ۱۹۶۵) هستند:

$$J_p(\xi) = \sum_{n=0}^{\infty} (-1)^n \frac{1}{n!(n+p+1)!} \left(\frac{\xi}{2} \right)^{2n+p} \quad (18)$$

$$Y_p(\xi) = \frac{J_p(\xi) \cos(p\pi) - J_{-p}(\xi)}{\sin(p\pi)} = \\ - \frac{\left(\frac{1}{2}\xi \right)^p}{\pi} \sum_{k=0}^{p-1} \frac{(p-k-1)!}{k!} \left(\frac{1}{4}\xi \right)^k + \frac{1}{\pi} I_n \left(\frac{1}{2}\xi \right) J_p(\xi) \\ - \frac{\left(\frac{1}{2}\xi \right)^p}{\pi} \sum_{k=0}^{\infty} [\Omega(k+1) + \Omega(p+k+1)] \frac{\left(\frac{1}{2}\xi \right)^k}{k!(n+k)!} \quad (19)$$

$$\Omega(1) = -0.57721, \quad \Omega(n) = -0.57721 + \sum_{k=1}^{n-1} k^{-1}$$

که در آن، ثابت p مرتبه معادله بسل است. جواب معادله (۱۷)، جواب نهایی معادله (۱۴) به ازای مقادیر مثبت b است. با توجه به اینکه نمایه تنظیم کننده بسامد شناوری به ازای مقادیر منفی b حاصل می شود، لازم است که معادله (۱۳) به ازای $0 \leq b \leq 0$ حل شود.

با فرض $b = 0$ ، بسامد شناوری $N^2 = N^2(0) = a$ است و

معادله (۱۳) به شکل معادله (۲۰) تبدیل می شود:

$$\frac{d^2\phi}{dz^2} - n^2 \phi = 0 \quad (20)$$

که دارای جواب کلی $\phi(z) = A e^{nz} + B e^{-nz}$ است. مسئله رشد امواج با فرض ثابت بودن بسامد شناوری را محمدی و محب الحجه (۱۳۹۱) بررسی کرده اند. با فرض $b < 0$ و معادله (۱۳)، $N_e^2(z) = N^2(0) e^{bz}$

حاصل می‌شود. نمایه باد در حل مسئله ناپایداری ایدی گونه فقط روی مرزها ظاهر می‌شود و در نواحی داخلی جوّا ثری از آن دیده نمی‌شود. با استفاده از رابطه (۶) برای نمایه مربوعی، می‌توان نمایه‌های بسامد شناوری را محاسبه کرد. بدین ترتیب، نمایه باد به‌طور مستقیم در تعیین نمایه بسامد شناوری تنظیم یافته شرکت دارد. در ابتدا این مقاله، مسئله تنظیم کژفشار با فرض نمایه خطی برای سرعت باد مداری در حالت پایه حل شد. به‌منظور مطابقت دادن بیشتر مدل مورد بررسی با جوّا واقعی، می‌توان از نمایه مربوعی باد مطابق رابطه (۶) استفاده کرد. در این صورت، چینش باد در مرز زیرین ضریبی از مقدار آن در مرز زیرین می‌شود. این ضریب را می‌توان به‌ازای مقادیر گوناگون h حساب کرد:

$$\left. \frac{\partial U}{\partial z} \right|_{z=z_{top}} = \varepsilon \left. \frac{\partial U}{\partial z} \right|_{z=0}, \quad \varepsilon = -\frac{z_{top}}{h} + 1 \quad (28)$$

با فرض نمایه درجه دوم باد با ارتفاع، معادله انرژی روی مرز زیرین به‌صورت $c d\phi/dz + U_{z_0} \phi = 0$ درمی‌آید که در آن U_{z_0} چینش باد در مرز زیرین است. با قرار دادن جواب (۱۷) و مرتب کردن بر حسب ضرایب A و B معادله (۲۹) به‌دست می‌آید:

$$(29)$$

$A[c J'_1(0) + U_{z_0} J_1(0)] + B[c Y'_1(0) + U_{z_0} Y_1(0)] = 0$ به همین ترتیب، معادله انرژی روی مرز زیرین به‌صورت $(U(z_{top}) - c) d\phi/dz - \varepsilon U_{z_0} \phi = 0$ (۱۷) و مرتب کردن بر حسب ضرایب A و B معادله (۳۰) به‌دست می‌آید:

$$A[(U(z_{top}) - c) J'_1(z_{top}) - \varepsilon U_{z_0} J_1(z_{top})] + \quad (30)$$

$$B[(\varepsilon U_{z_0} z_{top} - c) Y'_1(z_{top}) - \varepsilon U_{z_0} Y_1(z_{top})] = 0$$

شرط وجود جواب غیربدیهی، صفر بودن دترمینان ضرایب A و B است که منجر به معادله‌ای درجه دوم برای تندی فاز مختلط c با جواب زیر برای آن می‌شود:

نویمان هستند. بنابراین برای محاسبه مشتق تابع $(z)\phi$ در راستای قائم از خواص این تابع‌ها از رابطه (۲۴) استفاده می‌کنیم:

$$\frac{dJ_p(\xi)}{d\xi} = J_{p-1}(\xi) - \frac{p}{\xi} J_p(\xi), \quad \xi = \frac{2n i}{b} e^{\frac{bz}{2}} \quad (24)$$

رابطه‌های مشابهی نیز برای تابع نویمان وجود دارد. به علت طولانی بودن محاسبات مشتق تابع‌های بسل و نویمان از نمادهای $J'_p(x)$ و $Y'_p(x)$ برای نمایش مشتق این تابع‌ها در راستای قائم استفاده و از ساده‌سازی مشتقات خودداری می‌شود.

معادله انرژی (۹) روی مرز زیرین (سطح زمین) به صورت $c d\phi/dz + \Lambda \phi = 0$ است که با قرار دادن جواب (۱۷) و مرتب کردن بر حسب ضرایب A و B معادله (۲۵) به‌دست می‌آید:

$$A[c J'_1(0) + \Lambda J_1(0)] + B[c Y'_1(0) + \Lambda Y_1(0)] = 0 \quad (25)$$

معادله انرژی روی مرز زیرین (ورداست با ارتفاع (z_{top})) به صورت $(\Lambda z_{top} - c) d\phi/dz - \Lambda \phi = 0$ است که با قرار دادن جواب (۱۷) و مرتب کردن بر حسب ضرایب A و B معادله (۲۶) به‌دست می‌آید:

$$A[(\Lambda z_{top} - c) J'_1(z_{top}) - \Lambda J_1(z_{top})] + \quad (26)$$

$$B[(\Lambda z_{top} - c) Y'_1(z_{top}) - \Lambda Y_1(z_{top})] = 0$$

به شرط وجود جواب غیربدیهی، صفر بودن دترمینان ضرایب A و B است که منجر به معادله‌ای درجه دوم برای تندی فاز مختلط c با جواب زیر برای آن می‌شود:

$$\mu c^2 + [-\Lambda z_{top} \mu + \Lambda(\gamma_1 - \gamma_2)]c - \quad (27)$$

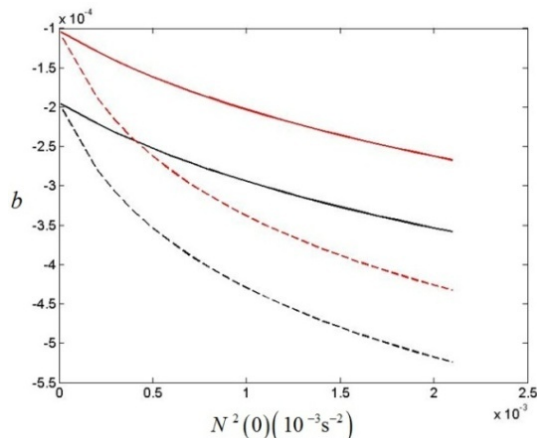
$$\Lambda^2(z_{top} \gamma_1 - \lambda) = 0$$

$$\lambda = \begin{vmatrix} J_1(z_{top}) & Y_1(z_{top}) \\ J_1(0) & Y_1(0) \end{vmatrix}, \quad \gamma_2 = \begin{vmatrix} J'_1(0) & Y'_1(0) \\ J_1(z_t) & Y_1(z_t) \end{vmatrix},$$

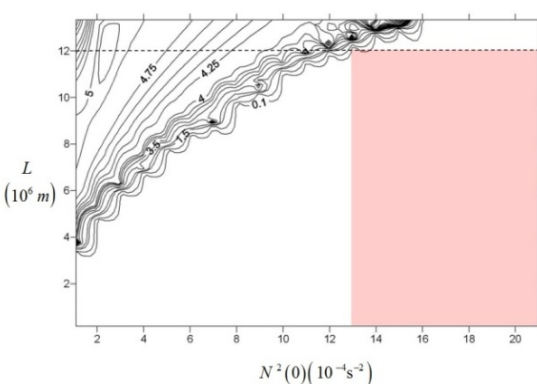
$$\gamma_1 = \begin{vmatrix} J'_1(z_{top}) & Y'_1(z_{top}) \\ J_1(0) & Y_1(0) \end{vmatrix}, \quad \mu = \begin{vmatrix} J'_1(z_{top}) & Y'_1(z_{top}) \\ J'_1(0) & Y'_1(0) \end{vmatrix}$$

جواب‌های رشد یابنده (ریشه‌های مختلط c) از مساوی صفر قرار دادن دلتای معادله درجه دوم (۲۷)

اثر زیادی بر رخداد تنظیم کژفشار است. درحالی که در چینش‌های ضعیف باد، تنظیم کژفشار رخ می‌دهد، با افزایش میزان چینش باد رخداد تنظیم کژفشار محدودتر می‌شود.



شکل ۳. تغییرات عدد b در نمایه مربعی سرعت باد مداری بر حسب ارتفاع، ارتفاع تراز باد بیشینه برابر با 300 کیلومتر و $a=0.008$ (خط سرخ)، ارتفاع تراز باد بیشینه برابر با 300 کیلومتر و $a=0.002$ (خط چین سرخ)، ارتفاع تراز باد بیشینه برابر با 15 کیلومتر و $a=0.008$ (خط سیاه)، ارتفاع تراز باد بیشینه برابر با 15 کیلومتر و $a=0.002$ (خط چین مشکی).



شکل ۴. قسمت موهومنی تندی فاز مختلط با فرض ثابت بودن بسامد شناوری با ارتفاع $(b=-0.1)$. ناحیه سرخ نشان‌دهنده رخداد تنظیم کژفشار برای طول موج‌های کوچک‌تر از 12000 کیلومتر و $N^2(0)\geq 13\times 10^{-4}s^{-2}$ است.

برای بررسی اثر اختلاف چینش باد روی مرزهای زیرین و زیرین، تراز باد بیشینه در شکل ۶ به ارتفاع فرضی

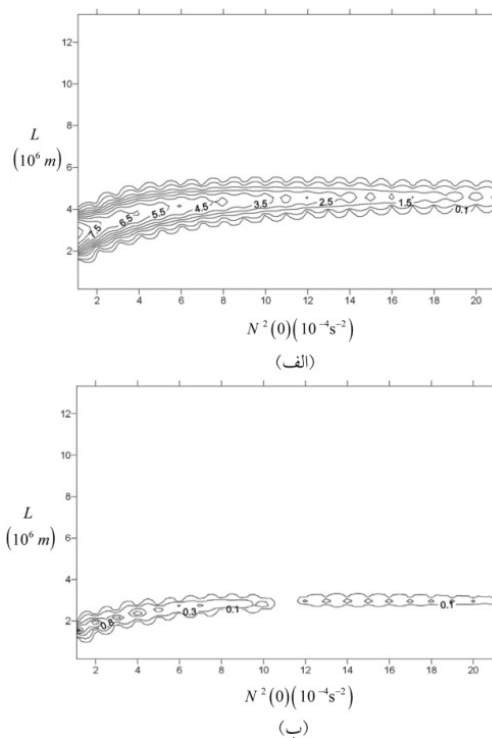
می‌شود:

$$\begin{aligned} \mu c^2 + [U(z_{\text{top}}) \mu + U_z(0) \gamma_1 - \varepsilon U_z(0) \gamma_2] c + \\ \varepsilon U_z(0)^2 z_{\text{top}} \lambda_2 - U(z_{\text{top}}) U_z(0) \lambda_2 = 0 \end{aligned} \quad (31)$$

در مواردی که دلتای معادله فوق منفی باشد، امواج رشد می‌کنند.

با حل رابطه (۳۱) می‌توان قسمت موهومنی تندی فاز را برای نمایه مربعی باد به دست آورد. به‌منظور راستی‌آزمایی، مسئله مورد بررسی را با سامد شناوری ثابت با ارتفاع حل می‌کنیم. در شکل ۴ قسمت موهومنی تندی فاز در بازه طول موج‌ها و بسامدهای شناوری سطح با فرض ثابت بودن تغییرات بسامد شناوری تنظیم یافته نسبت به ارتفاع ($b=-0.1$) رسم شده است. مطابق این شکل در جایی که قسمت موهومنی تندی فاز صفر است، با افزایش مقدار بسامد شناوری در سطح زمین طول موج آستانه رشد امواج نیز افزایش می‌یابد. برای مثال به‌ازای $N^2(0)>12.5\times 10^{-4}s^{-2}$ در طول موج‌های کمتر از 12000 کیلومتر، قسمت موهومنی تندی فاز صفر است. (بخش سرخ رنگ در شکل ۴) این مورد شامل رخداد تنظیم کژفشار برای طیف وسیعی از موج‌ها در جو است. لذا می‌توان گفت به‌ازای بسامدهای شناوری بزرگ در سطح، عموماً تنظیم کژفشار رخ می‌دهد (گوتاووسکی، ۱۹۸۵؛ گوتاووسکی و همکاران، ۱۹۸۹).

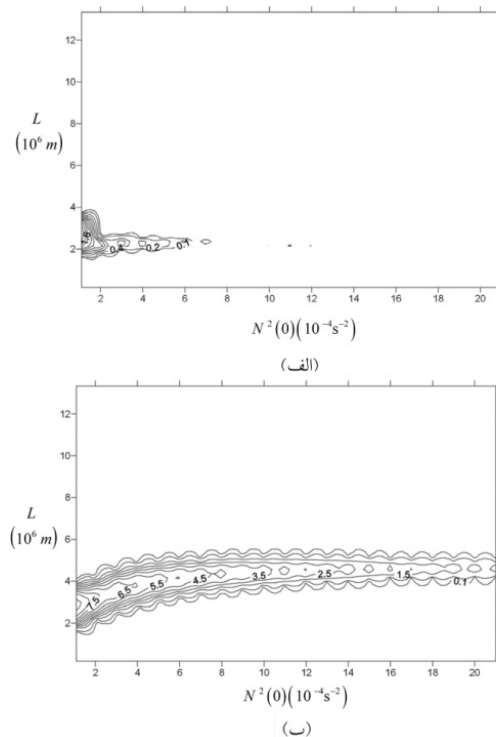
در شکل ۵ اثر ضریب a (چینش باد) بر تنظیم کژفشار برای ارتفاع تراز باد بیشینه واقع در 15 km باعث داده شده است. ضعیف بودن چینش باد ($a=0.002$) باعث می‌شود تا قسمت موهومنی تندی فاز در ناحیه‌ای وسیع از طول موج‌ها و بسامدهای شناوری سطح زمین صفر شود (شکل ۵-الف). ولی چنانچه چینش باد قوی‌تر شود ($a=0.008$ در طول موج‌های بین دو تا چهار هزار کیلومتر، ناپایداری و رشد امواج دیده می‌شود ($c_i \neq 0$). در نتیجه، مقدار چینش باد دارای

شکل ۶. قسمت موهومی تندی فاز بهاری $a=0.008$ و ارتفاع تراز باد

بیشینه در (الف) ۳۰۰ کیلومتر و (ب) ۱۵ کیلومتر.

با کاهش تراز باد بیشینه، اختلاف بین چینش‌های باد بیشتر و میزان رشد کمتر می‌شود تا جایی که با بیشتر شدن مقدار اختلاف از مقدار آستانه، علی‌رغم هم‌عالمت بودن چینش‌ها، ناپایداری رخ نمی‌دهد (محمدی و محب‌الحجه، ۱۳۹۱). بنابراین، به‌منظور نشان دادن اثر کاهش b بر تسريع فرایند تنظیم کژفشار، مسئله با فرض قرار گرفتن تراز باد بیشینه در ارتفاع ۳۰۰ km و مقدار b متعلق به تراز باد بیشینه در ارتفاع ۱۵ km حل شد. نتایج نشان می‌دهد که در واقع، رخداد فرایند تنظیم کژفشار تسريع می‌شود. بنابراین می‌توان نتیجه گرفت که کاهش ضریب b می‌تواند فرایند تنظیم کژفشار را تسريع کند (شکل ۶-ب). اما با افزایش اختلاف بین چینش باد در دو مرز (کاهش ارتفاع تراز باد بیشینه)، اثر کاهش b خشی می‌شود به‌طوری که دیگر اثری بر رخداد تنظیم کژفشار ندارد.

۳۰۰ km برده شده است تا اختلاف چینش بسیار کوچک شود. به‌ازای این تراز باد بیشینه، مقدار b لازم برای حذف تاوایی پتانسیلی حالت پایه نسبت به حالتی که تراز باد بیشینه در ارتفاع ۱۵ km باشد، بیشتر است. این افزایش مقدار b باید سبب رشد موج شود و تنظیم کژفشار را محدود کند. ولی علی‌رغم این میزان تغییر b ، تغییر چندانی در قسمت موهومی تندی فاز دیده نمی‌شود و c از لحاظ اندازه و توزیع نسبت به سامد شناوری سطح و طول موج تغییری نکرده است (به تفاوت اندک شکل‌های ۵-ب و ۶-الف توجه شود). رخداد این مورد نشان می‌دهد که با کاهش تراز باد بیشینه، مقدار b نیز کاهش می‌یابد و اثر کاهش ارتفاع تراز باد بیشینه را از بین می‌برد و قسمت موهومی تندی فاز در چینش‌های یکسان نسبت به ارتفاع تراز باد بیشینه پایی‌تار است.

شکل ۵. قسمت موهومی تندی فاز بهاری ارتفاع تراز باد بیشینه برابر با ۱۵ کیلومتر و (الف) $a=0.002$ و (ب) $a=0.008$ در رابطه (۶) برای نمایه مربعی باد.

و بهازی مقادیر منفی b بهصورت رابطه (۳۷) بهدست

آورده:

$$\begin{aligned} \bar{vq} = & -\frac{\partial}{\partial y} \bar{uv} + \frac{f_0^2}{N^2(0)} e^{bz} \frac{\partial}{\partial z} (\bar{\psi}_x \bar{\psi}_z) + \frac{f_0^2 b}{N^2(0)} e^{bz} \bar{\psi}_x \bar{\psi}_z \quad (37) \end{aligned}$$

چنانچه $0 \rightarrow b$ میل کند ($N_e^2(z) \rightarrow N^2(0)$) در می آید:

$$\bar{vq} = -\frac{\partial}{\partial y} \bar{uv} + \frac{f_0^2}{N^2(0)} \frac{\partial}{\partial z} (\bar{\psi}_x \bar{\psi}_z) \quad (38)$$

حال مناسب است روابط (۳۶)، (۳۷) و (۳۸) در تراز ۶۰۰ هكتوپاسکال با یکدیگر مقایسه شوند. روی این تراز ۱/۴ دارای مقدار $0/7$ و e^{-bz} در رابطه (۳۷) دارای مقدار e^{-bz} است. در جمله سوم سمت راست معادله (۳۶) e^{-bz} دارای مقدار $-0/7$ و e^{bz} در جمله سوم سمت راست رابطه (۳۷) دارای مقدار $1/4$ و در (۳۸) صفر است. لذا به وضوح می توان دریافت که شارپیچکی بهازی مقادیر منفی b بیشینه و بهازی مقادیر مثبت b کمینه است. استون (۱۹۷۸) شارپیچکی در تراز ۶۰۰ هكتوپاسکال را محاسبه کرد و روشن ساخت که در ابتدای مرحله رشد امواج، مقدار شارپیچکی کمینه است و به تدریج با رشد امواج، شارپیچکی نیز افزایش می یابد و با رسیدن شارپیچکی به مقدار بیشینه، میرایی امواج نیز آغاز می شود. با توجه به مطالب ذکر شده و مقایسه با کار استون (۱۹۷۸) می توان نتیجه گرفت مقادیر مثبت b متناظر با مرحله رشد امواج و مقادیر منفی b متناظر با میرایی امواج جو و فرایند تنظیم کثرشار است.

۵ نتیجه گیری

در این پژوهش همچون گوتاووسکی (۱۹۸۵)، گوتاووسکی و همکاران (۱۹۸۹)، هارنیک و لیندن (۱۹۹۸)، بری و

۴ فعالیت پیچکی

در اینجا با استفاده از پایستاری تاوایی پتانسیلی و معادلات شبزه زمین گرد، رفتار پیچکها در تنظیم کثرشار مورد بررسی قرار می گیرد. معادله خطی شده تاوایی پتانسیلی بهصورت معادله (۳۲) است:

$$\frac{\partial q}{\partial t} + U \frac{\partial q}{\partial x} + v \frac{\partial Q}{\partial y} = \sigma \quad (32)$$

که در آن، σ بخش پریشیده جمله تولید و میرایی پیچکها و $Q/\partial y$ و Q مطابق با روابط (۲) و (۸) است. با ضرب بخش پریشیده تاوایی پتانسیلی (q) در معادله (۳۲) و متوسطگیری از معادله حاصل، رابطه (۳۳) بهدست می آید:

$$\begin{aligned} \frac{1}{2} \frac{\partial \bar{q}}{\partial t} = & -\bar{vq} \frac{\partial Q}{\partial y} + \bar{\sigma q}, \\ \frac{\partial Q}{\partial y} = & -\left(\frac{1}{2} \frac{\partial \bar{q}}{\partial t} - \bar{\sigma q} \right) / \sqrt{vq} \end{aligned} \quad (33)$$

براساس معادله فوق با افزایش فعالیت پیچکی و در نتیجه شارپیچکی، می توان انتظار داشت که شیوه نصف النهاری تاوایی پتانسیلی حالت پایه کاهش یابد (مورگان، ۱۹۹۵). راه دیگری برای محاسبه فعالیت پیچکی، استفاده از بردار شار الیسن و پالم (۱۹۶۱) است:

$$\bar{vq} = \nabla \cdot \mathbf{E}, \quad \mathbf{E} = -\bar{uv} \mathbf{j} + \frac{f_0^2}{N^2} \bar{\psi}_x \bar{\psi}_z \mathbf{k} \quad (34)$$

که در آن، \mathbf{E} بردار الیسن و پالم و $v = \partial \psi / \partial x$ تابع جریان پریشیدگی است. از تاثیر عملگر واگرایی ∇ بر بردار \mathbf{E} رابطه (۳۵) بهدست می آید:

$$\bar{vq} = -\frac{\partial}{\partial y} \bar{uv} + \frac{\partial}{\partial z} \left(\frac{f_0^2}{N^2} \bar{\psi}_x \bar{\psi}_z \right) \quad (35)$$

با قرار دادن $N_e^2(z) = N^2(0) e^{bz}$ در معادله فوق و مشتقگیری نسبت به z می توان شارپیچکی را بهازی مقادیر مثبت b بهصورت:

$$\begin{aligned} \bar{vq} = & -\frac{\partial}{\partial y} \bar{uv} + \frac{f_0^2}{N^2(0)} e^{-bz} \frac{\partial}{\partial z} (\bar{\psi}_x \bar{\psi}_z) - \frac{f_0^2 b}{N^2(0)} e^{-bz} \bar{\psi}_x \bar{\psi}_z \end{aligned} \quad (36)$$

چینش قوی باد از عوامل مهم رخداد ناپایداری است و می‌تواند اترات تنظیم کننده دیگر عوامل را خشی کند. برای نمایه مربعی باد، با کاهش تراز باد بیشینه اختلاف بین چینش باد روی مرزهای زیرین و زیرین افزایش می‌یابد. نشان داده شد که اثر افزایش اختلاف بین دو چینش را کاسته شدن از افت بسامد شناوری با ارتفاع جبران می‌کند به طوری که کاهش تراز باد بیشینه و تغییر حاصل در نمایه باد بر رخداد تنظیم کثفشار بی‌اثر است.

مراجع

محمدی، ع. و محب‌الحججه، ع. ر.، ۱۳۹۱، اثر چینش باد در سطح زمین و وردایست بر ناپایداری کثفشار، م. ژئوفیزیک ایران، ۲، ۱۱۴-۱۲۷.

Abramowitz, M. and Stegun, I. A., 1965, Handbook of mathematical functions, national bureau of standards, Applied Math, Series #55, Dover Publications, 1046 pp.

Barry, L., Craig, G. C. and Thuburn, J., 2000, A GCM investigation into the nature of baroclinic adjustment, *J. Atmos. Sci.*, **57**, 1141-1155.

Bordi, I., Dell'Aquila, A. and Sutera, A., 2002, Formula for a baroclinic adjustment theory of climate, *Tellus.*, **54A**, 260-272 (BDSS).

Bordi, I., Dell'Aquila, A., Speranza, A. and Sutera, A., 2004, On the mid-latitude tropopause height and the orographic-baroclinic adjustment theory, *Tellus*, **56A**, 278-286.

Charney, J. G. and Stern, M. E., 1962, On the stability of internal baroclinic jets in a rotating atmosphere, *J. Atmos. Sci.*, **19**, 159-172.

Dell'Aquila, A., 2004, Midlatitude winter tropopause the observed state and a theory of baroclinic adjustment, PhD Thesis, University of Genoa, Genoa, 100 pp.

Dell'Aquila, A., Ruti, P. M. and Sutera, A., 2007, Effects of the baroclinic adjustment on the tropopause in the NCEP-NCAR reanalysis, *Climate Dyn.*, **28**, 325-332.

Eady, E. T., 1949, Long waves and cyclone waves, *Tellus*, **1**, 33-52.

Eliassen, A. and Palm, E., 1961, On the transfer of energy in stationary mountain waves, *Geophys. Publ.*, **22**, 1-23.

Fullmer, James W. A., 1982, Calculations of the

همکاران (۲۰۰۰) و بوردی و همکاران (۲۰۰۲)، رخداد تنظیم کثفشار متناظر با صفر شدن قسمت موهومی تندي فاز در نظر گرفته شده است. نکته تمایز کننده پژوهش عرضه شده از تحقیقات پیشین، در نظر گرفتن مرز زیرین و فرض بسامد شناوری نامتناهی در پوشن‌سپهر است. بوردی و همکاران (۲۰۰۲) مدل ایدی را با در نظر گرفتن بسامد شناوری متناهی در پوشن‌سپهر حل کرد و نشان داد که آستانه رشد امواج تغییر کرده است و طول موجی حدی که طول موج‌های بزرگ‌تر از آن پایدارند، به دست می‌آید. اثر مرز زیرین ناقص رشد امواج در طول موج آستانه نیست و فقط کیفیت آن را دستخوش تغییر می‌کند.

نکته حائز اهمیت در این مسئله، علاوه بر در نظر گرفتن مرز زیرین، حل به روش ایدی است. در این حالت، برای حذف شیوه تاوایی پتانسیلی حالت پایه در فرایند تنظیم کثفشار لازم است که بسامد شناوری با ارتفاع کاهش یابد. حل مسئله با فرض ثابت بودن بسامد شناوری با ارتفاع نتایجی شبیه به گوتاؤسکی (۱۹۸۵) و گوتاؤسکی و همکاران (۱۹۸۹) به دست می‌دهد و تنظیم کثفشار فقط به ازای مقادیر بزرگ بسامد شناوری در سطح زمین صورت می‌پذیرد. در این مقاله نشان داده شد با کاهش بسامد شناوری تنظیم‌یافته با ارتفاع، تنظیم کثفشار در چینش‌های ضعیف باد صورت می‌گیرد و افزایش چینش باد باعث رشد موج می‌شود و شرایط را برای رخداد تنظیم کثفشار سخت‌تر می‌کند. بنابراین در چرخندهای عرض‌های میانی، همراهی جریان جتی در وردسپهر زیرین در مرحله رشد امواج و تضعیف جریان جتی در مرحله میرایی امواج را می‌توان در این چارچوب درک کرد. رشد موج در حالی که بسامد شناوری با ارتفاع کاهش می‌یابد (بیشینه شار پیچکی) نشان‌دهنده آن است که چینش باد اثر قوی بر رشد موج دارد. بنابراین در شرایط عادی که چینش باد با ارتفاع کاهش نمی‌یابد،

- Rhines, P. B. and Young, W. R., 1982, Homogenization of potential vorticity in planetary gyres, *J. Fluid. Mech.*, **122**, 347-367.
- Rivest, C., Davis, C. A. and Farrell, B. F., 1992, Upper tropospheric synoptic scale waves, Part I: Maintenance as Eady normal modes, *J. Atmos. Sci.*, **49**, 2108-2119.
- Phillips, N. A., 1954, Energy transformations and meridional circulations associated with simple baroclinic waves in a two-level, quasi-geostrophic model, *Tellus*, **6**, 273-286.
- Pedlosky, J., 1964, The stability of currents in the atmosphere and the oceans, Part I, *J. Atmos. Sci.*, **27**, 201-219.
- Stone, P. H., 1978, Baroclinic adjustment, *J. Atmos. Sci.*, **35**, 561-571.
- Stone, P. H. and Nemet, B., 1996, Baroclinic adjustment: a comparison between theory, observations, and models, *J. Atmos. Sci.*, **53**, 1663-1674.
- Sun, D. Z. and Lindzen, R. S., 1994, A PV view of the zonal mean distribution of temperature and wind in the extratropical troposphere. *J. Atmos. Sci.*, **51**, 757-772.
- Vallis, G. K., 2006, Atmospheric and oceanic fluid dynamics, Cambridge University Press, 770 pp.
- Quasi-Geostrophic potential vorticity gradient from climatological data, *J. Atmos. Sci.*, **39**, 1873-1877.
- Gutowski, W. J., 1985, Baroclinic adjustment and midlatitude temperature profiles, *J. Atmos. Sci.*, **42**, 1733-1745.
- Gutowski, W. J., Branscome, L. E. and Stewart, D. A., 1989, Mean flow adjustment during lifecycles of baroclinic waves, *J. Atmos. Sci.*, **46**, 1724-1737.
- Harnik, N. and Lindzen, R. S., 1998, The effect of basic-state potential vorticity gradients on the growth of baroclinic waves and the height of the tropopause, *J. Atmos. Sci.*, **55**, 344-360.
- Holton, J. R., 2004, An introduction to dynamic meteorology, 4nd ed., New York, Academic Press.
- Morgan, M. C., 1995, An observationally and dynamically determined basic state for the study of synoptic-scale waves, Ph.D. thesis, Massachusetts Institute of Technology, 123 pp.
- Lindzen, R. S., 1993, Baroclinic neutrality and the tropopause, *J. Atmos. Sci.*, **50**, 1148-1151.
- Lindzen, R. S. and Farrell, B., 1980, The role of polar regions in global climate and a new parametrization of global heat transport, *Mon. Wea. Rev.*, **108**, 2064-2076.